

Int-DWTs Library - Algebraic Simplifications Increasing Performance and Accuracy of Discrete Wavelet Transforms

Orientando: **Vinícius Rodrigues dos Santos**

Orientador: **Renata Hax Sander Reiser**

Coorientador: **Maurício Lima Pilla**

Colaborador: **Alice de Jesus Kozakevicius**

Universidade Federal de Pelotas
Ciência da Computação
Centro de Desenvolvimento Tecnológico

11/07/2015 - PELOTAS / RS

- 1 Introdução
- 2 Transformadas Wavelet
- 3 Otimizações
- 4 Testes e Resultados
- 5 Considerações Finais

Matemática Intervalar

Vantagens - Aritmética Intervalar (Moore/1959 e Sunaga/1958)

- Técnicas Intervalares são aplicadas na representação de dados inexatos, aproximações e erros nos procedimentos computacionais.
- Tem alcançado resultados significativos:
 - **controle automático** para o limite dos erros;
 - **algoritmos numéricos autovalidáveis**;
 - **tratamento da precisão** em sistema de ponto flutuante;
 - garantindo representação com a **máxima exatidão**;
 - **maior confiabilidade** em relação aos erros de propagação, de arredondamentos e truncamentos.

Principais Aplicações - Computação Científica

- **representação de valores contínuos** (números irracionais);
- **modelagem de parâmetros** (medidas obtidas por instrumentos de precisão limitada).

Biblioteca C-XSC

- Biblioteca para manipulação de intervalos numéricos.
- C-XSC foi elaborada em C++ e é direcionada ao desenvolvimento de algoritmos que necessitam de validação de resultados.
- Possibilidade de paralelização das operações intervalares.
- Exemplos de estruturas presentes na biblioteca:
 - **interval** (intervalo de reais).
 - **complex** (número complexo).
 - **rvector** (vetor de números reais).
 - **dotprecision** (acumulador real de alta precisão).

Introdução

Transformadas Wavelets

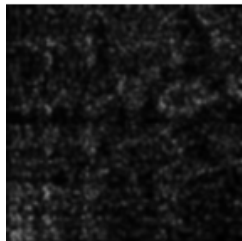
- As Transformadas Wavelets (TWs) são ferramentas matemáticas para a decomposição hierárquica de funções.
- São utilizadas em análise de sinais para identificação de detalhes.
- Uma característica importante das TWs é a composição (transformação inversa) dos sinais transformados para os originais.

Aplicações

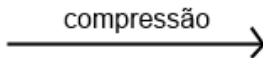
- As Transformadas Wavelets são aplicadas para resolução de problemas relacionados com, por exemplo:
 - **compressão de imagens,**
 - controle automatizado de nível de detalhe,
 - renderização de curvas.



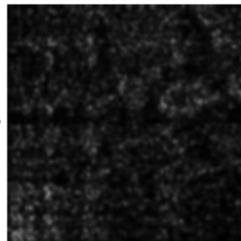
(a)



(b)



(d)



(c)

Principal Contribuição

Técnicas intervalares integradas às Transformadas Discretas Wavelets

- Desenvolver a biblioteca **Int-DWTs** com as implementações intervalares das TDWs, utilizando C-XSC.
- Prover resultados intervalares confiáveis e automaticamente validados às aplicações que necessitam das Transformadas Discretas Wavelets (TDW).

Objetivo

- Estudo, análise e **implementação da extensão intervalar** das Transformadas Wavelet de Haar (TWH) e de Daubechies (TWD).
- Implementar as seguintes abordagens:
 - **Abordagens:** não-normalizada não-padrão, não-normalizada padrão, normalizada não-padrão e normalizada padrão;
 - **Etapas:** transformação direta (decomposição) e de transformação inversa (composição).

Transformada Wavelet de Haar

Cascata

... ou Decimada

Decomposição	Composição
$C'[i] = (C[2i] + C[2i + 1]) / 2$	$C'[2^*i] = C[i] + C[n + i]$
$C'[n/2 + i] = (C[2i] - C[2i + 1]) / 2$	$C'[2^*i + 1] = C[i] - C[n + i]$

n = tamanho do vetor; $i = 0 \dots n/2 - 1$;

—	(de escala)	(wavelets)
Nível	Médias	Diferenças
2	[9 7 3 5]	-
1	[8 4]	[1 -1]
0	[6]	[2]

- Vetor original: [9 7 3 5]
- Vetor transformado: [6 2 1 -1]

Extensão Intervalar do Algoritmo da TWH

```
void INT_Haar_DecompositionStep(interval *vec, int n, bool normal)
{
    interval div;
    interval *vecp = new interval[n];

    if (normal) div = sqrt(interval(2));
    else      div = interval(2);

    for (int i = 0; i < n/2; i++)
    {
        vecp[i]      = (vec[2*i] + vec[2*i + 1]) / div;
        vecp[i + n/2] = (vec[2*i] - vec[2*i + 1]) / div;
    }

    for (int i = 0; i < n; i++)
        vec[i] = vecp[i];

    delete [] vecp;
}
```

```
void Haar_Decomposition(double *vec, int n, bool normal)
{
    if (normal)
        for (int i = 0; i < n; i++)
            vec[i] = vec[i] / sqrt(float(n));

    while (n > 1)
    {
        Haar_DecompositionStep(vec, n, normal);
        n /= 2;
    }
}

void INT_Haar_Decomposition(interval *vec, int n, bool normal)
{
    if (normal)
        for (int i = 0; i < n; i++)
            vec[i] = vec[i] / sqrt(interval(n));

    while (n > 1)
    {
        INT_Haar_DecompositionStep(vec, n, normal);
        n /= 2;
    }
}
```

À-Trous



... ou Não Decimada

Decomposição	Composição
$C^j[i] = (C^{j-1}[i] + C^{j-1}[i + 1])/2$ $D^j[i] = (C^{j-1}[i] - C^j[i])$	$C = C^n + \sum_{i=1}^n D^i$

n = tamanho do vetor; $i = 0 \dots n/2 - 1$;

—	de escala (C)	wavelets (D)
Nível	Médias	Diferenças
0	[9 7 3 5]	-
1	[8 6 4 6]	[1 1 1 -3]
2	[7 5 5 7]	[1 1 -1 -1]

- Vetor original: $C^0 = [9 \ 7 \ 3 \ 5]$
- Resultado: C^2, D^1, D^2

```
procedure DecompositionStep(C: array [1..h] of reals)  
  for i  $\leftarrow$  1 to h/2 do  
     $C'[i] \leftarrow (C[2i - 1] + C[2i]) / \underline{\sqrt{2}}$    
     $C'[h/2 + i] \leftarrow (C[2i - 1] - C[2i]) / \underline{\sqrt{2}}$    
  end for  
  C  $\leftarrow$  C'  
end procedure
```

```
procedure Decomposition(C: array [1..h] of reals)  
  C  $\leftarrow$  C /  $\sqrt{h}$  (normalize input coefficients)  
  while h > 1 do  
    DecompositionStep(C[1..h])  
    h  $\leftarrow$  h/2  
  end while  
end procedure
```

Transformada Wavelet de Daubechies

$$h = \left(\frac{1 + \sqrt{3}}{4\sqrt{2}}, \frac{3 + \sqrt{3}}{4\sqrt{2}}, \frac{3 - \sqrt{3}}{4\sqrt{2}}, \frac{1 - \sqrt{3}}{4\sqrt{2}} \right) \quad (1)$$

$$g = \left(\frac{1 - \sqrt{3}}{4\sqrt{2}}, \frac{-3 + \sqrt{3}}{4\sqrt{2}}, \frac{3 + \sqrt{3}}{4\sqrt{2}}, \frac{-1 - \sqrt{3}}{4\sqrt{2}} \right) \quad (2)$$

$$ih = \left(\frac{3 - \sqrt{3}}{4\sqrt{2}}, \frac{3 + \sqrt{3}}{4\sqrt{2}}, \frac{1 + \sqrt{3}}{4\sqrt{2}}, \frac{1 - \sqrt{3}}{4\sqrt{2}} \right) \quad (3)$$

$$ig = \left(\frac{1 - \sqrt{3}}{4\sqrt{2}}, \frac{-1 - \sqrt{3}}{4\sqrt{2}}, \frac{3 + \sqrt{3}}{4\sqrt{2}}, \frac{-1 + \sqrt{3}}{4\sqrt{2}} \right) \quad (4)$$

DecompositionStep ($C[1..n]$)

```
1  $i \leftarrow 1$  ;  
2  $j \leftarrow 1$  ;  
3  $half \leftarrow n/2$  ;  
4 while  $j \leq n - 3$  do  
5    $C'[i] \leftarrow C[j].h1 + C[j+1].h2 + C[j+2].h3 + C[j+3].h4$  ;  
6    $C'[i+half] \leftarrow C[j].g1 + C[j+1].g2 + C[j+2].g3 + C[j+3].g4$   
    $j \leftarrow j + 2$  ;  
7    $i \leftarrow i + 1$  ;  
8 end  
9  $C'[i] \leftarrow C[n-1].h1 + C[n].h2 + C[1].h3 + C[2].h4$  ;  
10  $C'[i+half] \leftarrow C[n-1].g1 + C[n].g2 + C[1].g3 + C[2].g4$  ;  
11  $C \leftarrow C'$  ;
```

$$h = a \left(\frac{1 + \sqrt{3}}{4\sqrt{2}} \right) + b \left(\frac{3 + \sqrt{3}}{4\sqrt{2}} \right) + c \left(\frac{3 - \sqrt{3}}{4\sqrt{2}} \right) + d \left(\frac{1 - \sqrt{3}}{4\sqrt{2}} \right) \quad (5)$$

$$g = a \left(\frac{1 - \sqrt{3}}{4\sqrt{2}} \right) + b \left(\frac{\sqrt{3} - 3}{4\sqrt{2}} \right) + c \left(\frac{3 + \sqrt{3}}{4\sqrt{2}} \right) + d \left(\frac{-1 - \sqrt{3}}{4\sqrt{2}} \right) \quad (6)$$

$$ih = a \left(\frac{3 - \sqrt{3}}{4\sqrt{2}} \right) + b \left(\frac{3 + \sqrt{3}}{4\sqrt{2}} \right) + c \left(\frac{1 + \sqrt{3}}{4\sqrt{2}} \right) + d \left(\frac{1 - \sqrt{3}}{4\sqrt{2}} \right) \quad (7)$$

$$ig = a \left(\frac{1 - \sqrt{3}}{4\sqrt{2}} \right) + b \left(\frac{-1 - \sqrt{3}}{4\sqrt{2}} \right) + c \left(\frac{3 + \sqrt{3}}{4\sqrt{2}} \right) + d \left(\frac{\sqrt{3} - 3}{4\sqrt{2}} \right) \quad (8)$$

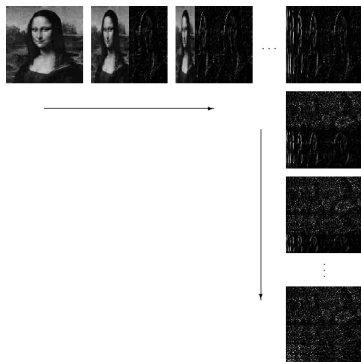
Otimização

Exemplificação

$$R = 2^{\frac{-j}{2}}$$

$$[9 \quad 7 \quad 3 \quad 5] \rightarrow [6 \quad 2 \quad 1 \quad -1] \rightarrow [6 \quad 2 \quad \frac{1}{\sqrt{2}} \quad \frac{-1}{\sqrt{2}}]$$

Entrada \rightarrow Decomposição \rightarrow Normalização



(a) TWH 2D Padrão



(b) TWH 2D Não-Padrão

Padrão de fatores de normalização (TWH 2D Cascata)

	0	1	2	...
0	$j' = 0$ $j'' = 0$	$j' = 0$ $j'' = 1$	$j' = 0$ $j'' = 2$	
1	$j' = 1$ $j'' = 0$	$j' = 1$ $j'' = 1$	$j' = 1$ $j'' = 2$	
2	$j' = 2$ $j'' = 0$	$j' = 2$ $j'' = 1$	$j' = 2$ $j'' = 2$	
...				

(a)

$$2^{-\frac{(j' + j'')}{2}}$$

(c)

	0	1	2	...
0	$j' = 0$ $j'' = 0$			
1		$j' = 1$ $j'' = 1$		
2			$j' = 2$ $j'' = 2$	
...				

(b)

Níveis de aplicação para (a) algoritmo Padrão, (b) algoritmo Não-Padrão e (c) regra de normalização de coeficientes bidimensionais.

$$\begin{array}{ccccccc}
 \boxed{C^0} & \xrightarrow{RAT} & \boxed{C_R^1} & \xrightarrow{RAT} & \boxed{C_R^2} & \xrightarrow{\dots} & \boxed{C_R^n} & \xrightarrow{CAT} & \boxed{C_C^{n+1}} & \xrightarrow{CAT} & \boxed{C_C^{n+2}} & \xrightarrow{\dots} & \boxed{C_C^{n^*2}} \\
 C^0 - C_R^1 = \boxed{D_R^1} & & C_R^1 - C_R^2 = \boxed{D_R^2} & & C_R^{n-1} - C_R^n = \boxed{D_R^n} & & C_R^n - C_C^{n+1} = \boxed{D_C^{n+1}} & & C_C^{n+1} - C_C^{n+2} = \boxed{D_C^{n+2}} & & C_C^{n^*2-1} - C_C^{n^*2} = \boxed{D_C^{n^*2}}
 \end{array}$$

TWH 2D Padrão

$$\begin{array}{ccccccc}
 \boxed{C^0} & \xrightarrow{RAT} & \boxed{C_R^1} & \xrightarrow{CAT} & \boxed{C_C^1} & \xrightarrow{RAT} & \boxed{C_R^2} & \xrightarrow{CAT} & \boxed{C_C^2} & \xrightarrow{RAT} & \boxed{C_R^3} & \xrightarrow{\dots} & \boxed{C_C^{n^*2}} \\
 C^0 - C_R^1 = \boxed{D_R^1} & & C_R^1 - C_C^1 = \boxed{D_C^1} & & C_C^1 - C_R^2 = \boxed{D_R^2} & & C_R^2 - C_C^2 = \boxed{D_C^2} & & C_C^2 - C_R^3 = \boxed{D_R^3} & & C_R^{n^*2-1} - C_C^{n^*2} = \boxed{D_C^{n^*2}}
 \end{array}$$

TWH 2D Não Padrão

$$\begin{aligned}h &= a \left(\frac{1 + \sqrt{3}}{4\sqrt{2}} \right) + b \left(\frac{3 + \sqrt{3}}{4\sqrt{2}} \right) + c \left(\frac{3 - \sqrt{3}}{4\sqrt{2}} \right) + d \left(\frac{1 - \sqrt{3}}{4\sqrt{2}} \right) \\&= \frac{a(1 + \sqrt{3}) + b(3 + \sqrt{3}) + c(3 - \sqrt{3}) + d(1 - \sqrt{3})}{4\sqrt{2}} \\&= \frac{a + a\sqrt{3} + 3b + b\sqrt{3} + 3c - c\sqrt{3} + d - d\sqrt{3}}{4\sqrt{2}} \\&= \frac{a + d + 3(b + c) + \sqrt{3}(a + b - c - d)}{4\sqrt{2}}\end{aligned}\tag{9}$$

$$\begin{aligned}g &= a \left(\frac{1 - \sqrt{3}}{4\sqrt{2}} \right) + b \left(\frac{\sqrt{3} - 3}{4\sqrt{2}} \right) + c \left(\frac{3 + \sqrt{3}}{4\sqrt{2}} \right) + d \left(\frac{-1 - \sqrt{3}}{4\sqrt{2}} \right) \\&= \frac{a(1 - \sqrt{3}) + b(\sqrt{3} - 3) + c(3 + \sqrt{3}) + d(-1 - \sqrt{3})}{4\sqrt{2}} \\&= \frac{a - a\sqrt{3} + b\sqrt{3} - 3b + 3c + c\sqrt{3} - d - d\sqrt{3}}{4\sqrt{2}} \\&= \frac{a - d + 3(c - b) + \sqrt{3}(b + c - a - d)}{4\sqrt{2}}\end{aligned}\tag{10}$$

$$\begin{aligned}ih &= a\left(\frac{3 - \sqrt{3}}{4\sqrt{2}}\right) + b\left(\frac{3 + \sqrt{3}}{4\sqrt{2}}\right) + c\left(\frac{1 + \sqrt{3}}{4\sqrt{2}}\right) + d\left(\frac{1 - \sqrt{3}}{4\sqrt{2}}\right) \\&= \frac{a(3 - \sqrt{3}) + b(3 + \sqrt{3}) + c(1 + \sqrt{3}) + d(1 - \sqrt{3})}{4\sqrt{2}} \\&= \frac{3a - a\sqrt{3} + 3b + b\sqrt{3} + c + c\sqrt{3} + d - d\sqrt{3}}{4\sqrt{2}} \\&= \frac{c + d + 3(a + b) + \sqrt{3}(b + c - a - d)}{4\sqrt{2}}\end{aligned}\tag{11}$$

$$\begin{aligned}ig &= a\left(\frac{1 - \sqrt{3}}{4\sqrt{2}}\right) + b\left(\frac{-1 - \sqrt{3}}{4\sqrt{2}}\right) + c\left(\frac{3 + \sqrt{3}}{4\sqrt{2}}\right) + d\left(\frac{\sqrt{3} - 3}{4\sqrt{2}}\right) \\&= \frac{a(1 - \sqrt{3}) + b(-1 - \sqrt{3}) + c(3 + \sqrt{3}) + d(\sqrt{3} - 3)}{4\sqrt{2}} \\&= \frac{a - a\sqrt{3} - b - b\sqrt{3} + 3c + c\sqrt{3} - 3d + d\sqrt{3}}{4\sqrt{2}} \\&= \frac{a - b + 3(c - d) + \sqrt{3}(c + d - a - b)}{4\sqrt{2}}\end{aligned}\tag{12}$$

Padrão de fatores de normalização (TWD 2D Padrão)

	...	3	2	1
⋮				
3	(3,3)	(3,2)	(3,1)	
2	(2,3)	(2,2)	(2,1)	
1	(1,3)	(1,2)	(1,1)	

(a)

(j', j'')

(b)

$$2^{\frac{-(j' + j'')}{2}}$$

(c)

(a) níveis de aplicação, (b) combinação de níveis, (c) regra de normalização.

Casos de Estudo

Estudo de caso:

- **Performance:** Relação de desempenho das execuções.
- **Accuracy:** Relação entre o maior diâmetro de intervalo de erro na computação.
- **Metrics:** Aplicação de métricas (EUC, MSE e PSNR) para medição de qualidade.

$$\text{EUC}(\tilde{\mathbf{Y}}, \mathbf{Y}) = \sqrt{\sum_{j=0}^m \sum_{i=0}^n (\tilde{\mathbf{Y}}_{ij} - \mathbf{Y}_{ij})^2} \quad (13)$$

$$\text{MSE}(\tilde{\mathbf{Y}}, \mathbf{Y}) = \frac{1}{nm} \sum_{j=0}^m \sum_{i=0}^n (\tilde{\mathbf{Y}}_{ij} - \mathbf{Y}_{ij})^2 \quad (14)$$

$$\text{PSNR}(\tilde{\mathbf{Y}}, \mathbf{Y}_{ij}) = 10 \cdot \log_{10} \frac{\text{MAX}^2}{\text{MSE}(\tilde{\mathbf{Y}}, \mathbf{Y})} \quad (15)$$

Configuração da Máquina

Desktop PC

Processador: Intel® Core™ i7 950 Processor @ 3.07GHz
Memória: 6GB DDR3 @ 1066MHz
SO: Windows 10
Compilador: Microsoft Visual C++ VS2013 (x64 Release)

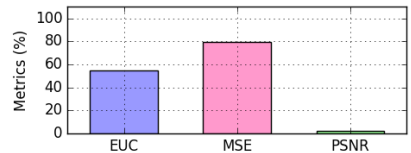
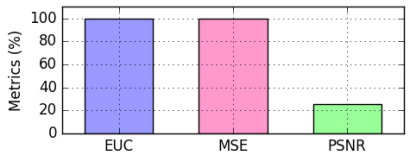
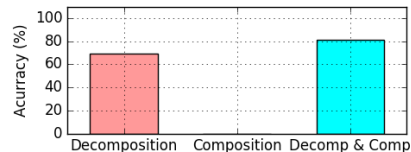
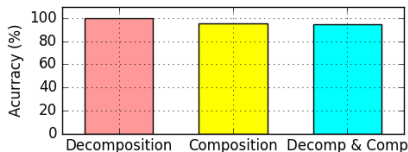
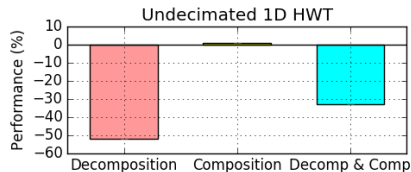
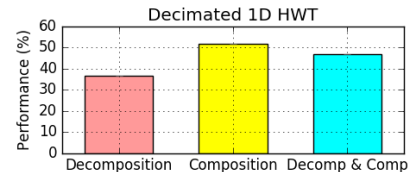
Parâmetros de teste para a TWH

- **TWH 1D**

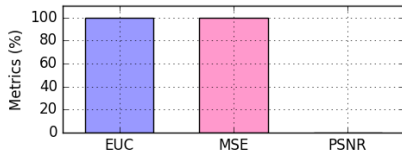
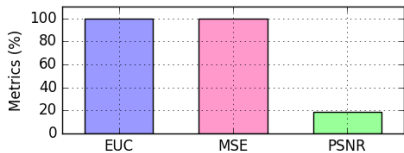
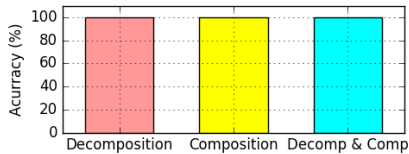
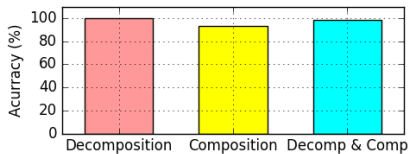
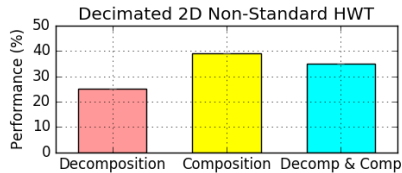
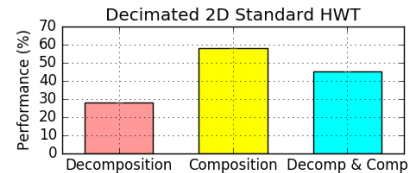
- **Cascata:** 1048576 valores aleatórios
- **À-Trous:** 1048576 valores aleatórios e 4 iterações

- **TWH 2D**

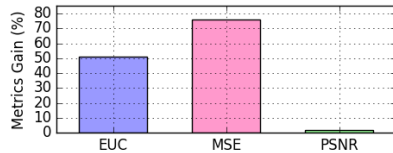
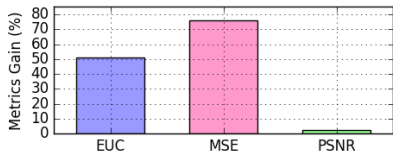
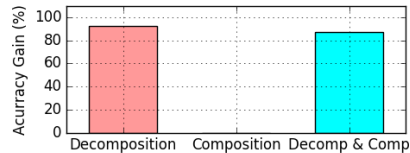
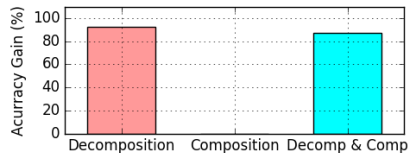
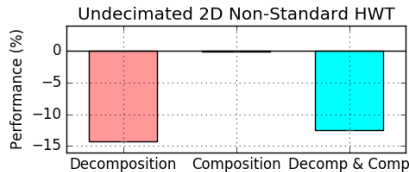
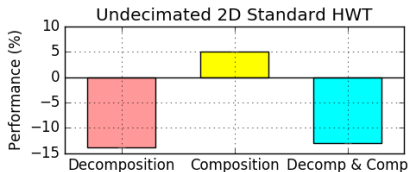
- **Cascata:** 1024x1024 valores aleatórios
- **À-Trous:** 1024x1024 valores aleatórios e 4 iterações



Testes para a **TWH 1D Cascata** e **À-Trous** utilizando 1048576 valores aleatórios.



Testes para a **TWH 2D Cascata** utilizando 1024x1024 valores aleatórios.



Testes para a **TWH 2D À-Trous** utilizando 1024x1024 valores aleatórios e 4 iterações.

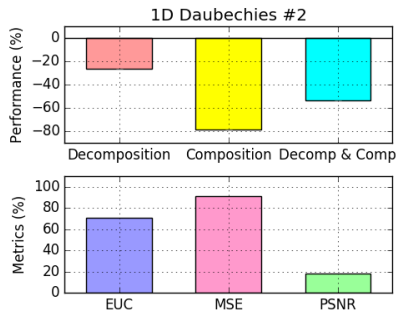
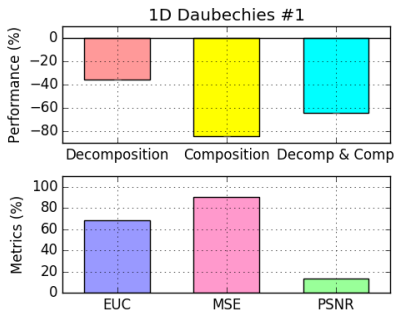
Parâmetros de teste para a TWD

- **TWD 1D**

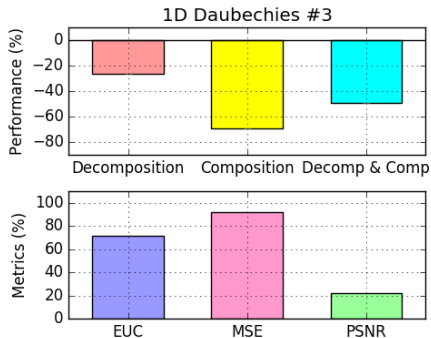
- **Teste #1:** 1048576 valores aleatórios
- **Teste #2:** 4194304 valores aleatórios
- **Teste #3:** 16777216 valores aleatórios

- **TWD 2D**

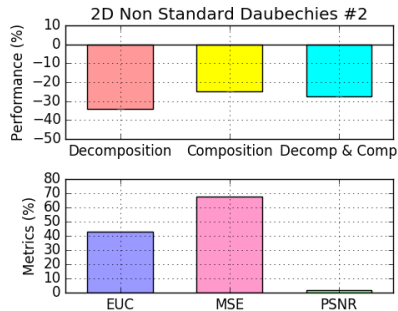
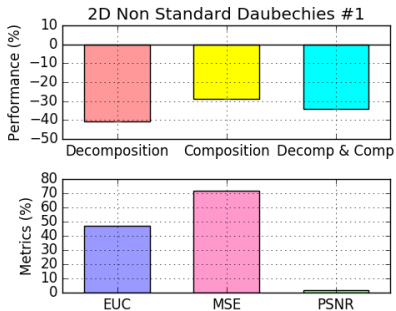
- **Teste #1:** 1024x1024 valores aleatórios
- **Teste #2:** 2048x2048 valores aleatórios
- **Teste #3:** 4096x4096 valores aleatórios



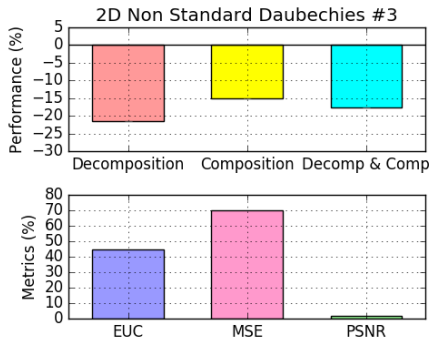
Testes #1 e #2 para a **TWD 1D** utilizando 1048576 e 4194304 valores aleatórios.



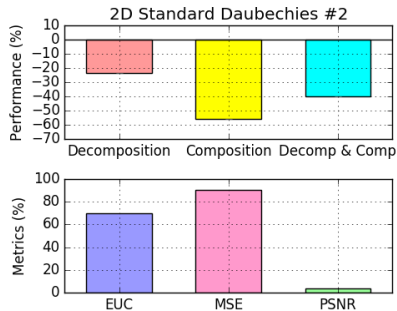
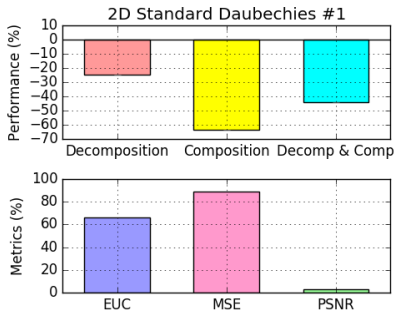
Teste #3 para a **TWD 1D** utilizando 16777216 valores aleatórios.



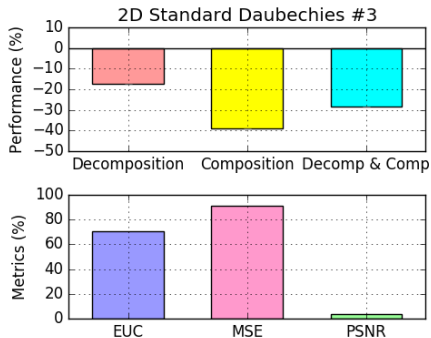
Testes #1 e #2 para a **TWD 2D Não-Padrão** utilizando 1024x1024 e 2048x2048 valores aleatórios.



Teste #3 para a **TWD 2D Não-Padrão** utilizando 4096x4096 valores aleatórios.



Testes #1 e #2 para a **TWD 2D Padrão** utilizando 1024x1024 e 2048x2048 valores aleatórios.



Teste #3 para a **TWD 2D Padrão** utilizando 4096x4096 valores aleatórios

Principais Publicações 2015-2016

- **ERAD 2015:** Estudo de Desempenho sobre a Biblioteca Int-Haar
- **SIM 2015:** Int-HWT: Increasing Performance and Exactitude of 1D and 2D Haar Wavelet Transforms
- **WEIT 2015:** Transformada de Haar Não Decimada Otimizada e sua Extensão Intervalar
- **ERAD 2016:** Transformada de Haar À Trous Otimizada e Análise de Desempenho
- **CNMAC 2016:** Otimização para Aumento de Exatidão da Transformada Wavelet de Haar À-Trous

Próximas Publicações

- **WSCAD-WIC 2016:** Simplificações de filtros e Análise de Desempenho para Transformada Wavelet de Daubechies
- Int-HWT: Algebraic Simplifications Increasing Performance And Exactitude of the Haar Wavelet Transforms

Conclusão

- As otimizações propostas para ambas transformadas foram implementadas e validadas com sucesso.
- A TWH Cascata apresentou ganhos tanto em desempenho quanto em exatidão dos cálculos.
- Ambas TWH À-Trous e TWD obtiveram perdas de desempenho porém com ganhos quanto a exatidão.
- A análise de complexidade algorítmica mostra a causa dos ganhos e perdas de desempenho.
- Não foi possível viabilizar as implementações concorrentes das transformadas utilizando GPU, porém serão os próximos objetivos do trabalho.
- Na continuidade, busca-se a extensão intervalar e otimização de outras TDWs.

Int-DWTs Library - Algebraic Simplifications Increasing Performance and Accuracy of Discrete Wavelet Transforms

Orientando: **Vinícius Rodrigues dos Santos**

Orientador: **Renata Hax Sander Reiser**

Coorientador: **Maurício Lima Pilla**

Colaborador: **Alice de Jesus Kozakevicius**

Universidade Federal de Pelotas
Ciência da Computação
Centro de Desenvolvimento Tecnológico

11/07/2015 - PELOTAS / RS

Métricas

Error

```
real INT_error(interval *x, int n)
{
    real r = 0.0;

    for (int i = 0; i < n; i++)
        if (INT_diameter(x[i]) > r) r = INT_diameter(x[i]);

    return r;
}
```

Distância Euclidiana

$$\mathbf{EUC}(\tilde{\mathbf{Y}}, \mathbf{Y}) = \sqrt{\sum_{j=0}^m \sum_{i=0}^n \left(\tilde{\mathbf{Y}}_{ij} - \mathbf{Y}_{ij} \right)^2}.$$

Mean Squared Error

$$\text{MSE}(\tilde{\mathbf{Y}}, \mathbf{Y}) = \frac{1}{nm} \sum_{j=0}^m \sum_{i=0}^n (\tilde{\mathbf{Y}}_{ij} - \mathbf{Y}_{ij})^2$$

Peak Noise-To-Signal

$$\mathbf{PSNR}(\tilde{\mathbf{Y}}, \mathbf{Y}_{ij}) = 10 \cdot \log_{10} \frac{MAX^2}{\mathbf{MSE}(\tilde{\mathbf{Y}}, \mathbf{Y})}.$$